

---

# 实验二 Image Warping

---

ID: 58 陈文博

February 26, 2020

## 1 实验要求

- \* 实现 Image Warping 的两种算法
  - Inverse distance-weighted interpolation method (IDW)
  - Radial basis functions interpolation method (RBF)
- \* 对实验产生的白色裂缝进行填补

## 2 开发环境

**IDE:** Microsoft Visual Studio 2019 community

**CMake:** 3.16.3

**Qt:** 5.14.1

**Eigen:** 3.3.7

**ANN:** 1.1.2

## 3 算法原理

### 3.1 基本原理

- 输入:  $n$  对控制点对  $(\mathbf{p}_i, \mathbf{q}_i), i = 1, 2, \dots, n$ , 其中  $\mathbf{p}_i \in \mathbb{R}^2$  为控制源点,  $\mathbf{q}_i \in \mathbb{R}^2$  为控制目标点
- 目标: 找到一个映射  $f: \mathbb{R}^2 \rightarrow \mathbb{R}^2$ , 满足  $f(\mathbf{p}_i) = \mathbf{q}_i, i = 1, 2, \dots, n$

### 3.2 Inverse distance-weighted interpolation methods(IDW)[1]

IDW 算法基本原理是根据给定的控制点对和控制点对的位移矢量, 计算控制点对周围像素的反距离加权重影响, 实现图像每一个像素点的位移。

选择  $n$  组控制点对  $(\mathbf{p}_i, \mathbf{q}_i), i = 1, 2, \dots, n$ , 目标映射  $f: \mathbb{R}^2 \rightarrow \mathbb{R}^2$  可表示为以下形式:

$$f(\mathbf{p}) = \sum_{i=1}^n \omega_i(\mathbf{p}) f_i(\mathbf{p}) \quad (3.1)$$

其中, 权重  $w_i(\mathbf{p})$  满足:

$$w_i(\mathbf{p}) = \frac{\sigma_i(\mathbf{p})}{\sum_{j=1}^n \sigma_j(\mathbf{p})} \quad (3.2)$$

$\sigma_i(\mathbf{p})$  反映第  $i$  对控制点对像素  $\mathbf{p}$  的反距离加权重影响程度, 可以直接取

$$\sigma_i(\mathbf{p}) = \frac{1}{\|\mathbf{p} - \mathbf{p}_i\|^\mu} (\mu > 1) \quad (3.3)$$

也可以取 locally bounded weight:

$$\sigma_i(\mathbf{p}) = \left[ \frac{(R_i - d(\mathbf{p}, \mathbf{p}_i))}{R_i d(\mathbf{p}, \mathbf{p}_i)} \right]^\mu \quad (3.4)$$

$f_i$  为线性函数, 满足:

$$f_i(\mathbf{p}) = \mathbf{q}_i + \mathbf{T}_i(\mathbf{p} - \mathbf{p}_i) \quad (3.5)$$

$\mathbf{T}_i$  为二阶矩阵

$$\mathbf{T}_i = \begin{bmatrix} t_{11}^{(i)} & t_{12}^{(i)} \\ t_{21}^{(i)} & t_{22}^{(i)} \end{bmatrix} \quad (3.6)$$

矩阵  $\mathbf{T}$  的确定, 可通过求解最优化问题:

$$\min_{\mathbf{T}_i} E_i(\mathbf{T}_i) = \sum_{j=1, j \neq i}^n \sigma_i(\mathbf{p}_j) \|\mathbf{q}_j - f_i(\mathbf{p}_j)\|^2 \quad (3.7)$$

对上式矩阵  $\mathbf{T}$  的各个元素分别求导, 令方程为 0 可得

$$\mathbf{T} \sum_{j=1, j \neq i}^n \sigma_i(\mathbf{p}_j) \Delta \mathbf{p} \Delta \mathbf{p}^T = \sum_{j=1, j \neq i}^n \sigma_i(\mathbf{p}_j) \Delta \mathbf{q} \Delta \mathbf{p}^T \quad (3.8)$$

其中  $\Delta \mathbf{p} = (\mathbf{p}_j - \mathbf{p}_i \mathbf{0})$ ,  $\Delta \mathbf{q} = (\mathbf{q}_j - \mathbf{q}_i \mathbf{0})$ , 当  $\sum_{j=1, j \neq i}^n \sigma_i(\mathbf{p}_j) \Delta \mathbf{p} \Delta \mathbf{p}^T$  非奇异时, 可得

$$\mathbf{T} = \left( \sum_{j=1, j \neq i}^n \sigma_i(\mathbf{p}_j) \Delta \mathbf{q} \Delta \mathbf{p}^T \right) \left( \sum_{j=1, j \neq i}^n \sigma_i(\mathbf{p}_j) \Delta \mathbf{p} \Delta \mathbf{p}^T \right)^{-1} \quad (3.9)$$

$\mathbf{T}_i (i = 1, 2, \dots, n)$ , 确定以后映射  $f$  也就相应确定

### 3.3 Radial basis functions interpolation method(RBF) [2]

选择  $n$  组控制点对  $(\mathbf{p}_i, \mathbf{q}_i), i = 1, 2, \dots, n$ , 目标映射  $f: \mathbb{R}^2 \rightarrow \mathbb{R}^2$  可表示为以下形式:

$$f(\mathbf{p}) = \sum_{i=1}^n \alpha_i g_i(\|\mathbf{p} - \mathbf{p}_i\|) + \mathbf{A}\mathbf{p} + \mathbf{B} \quad (3.10)$$

其中,  $g_i$  是径向基函数, 通常可取 Hardy multiquadrics  $g(t) = (t^2 + c^2)^{\pm \frac{1}{2}}$  或高斯函数  $g_\sigma = e^{-t^2/\sigma^2}$ , 为了计算方便, 这里取 Hardy multiquadrics:

$$g_i(d) = (d + r_i)^{\pm \frac{1}{2}} \quad (3.11)$$

$$r_i = \min_{j \neq i} d(\mathbf{p}_i, \mathbf{p}_j)$$

对于线性部分分量  $\mathbf{A}\mathbf{p} + \mathbf{B}$ , 本例简单的取  $\mathbf{A} = \mathbf{I}$  和  $\mathbf{B} = \mathbf{0}$

## 4 程序架构

### 4.1 文件结构

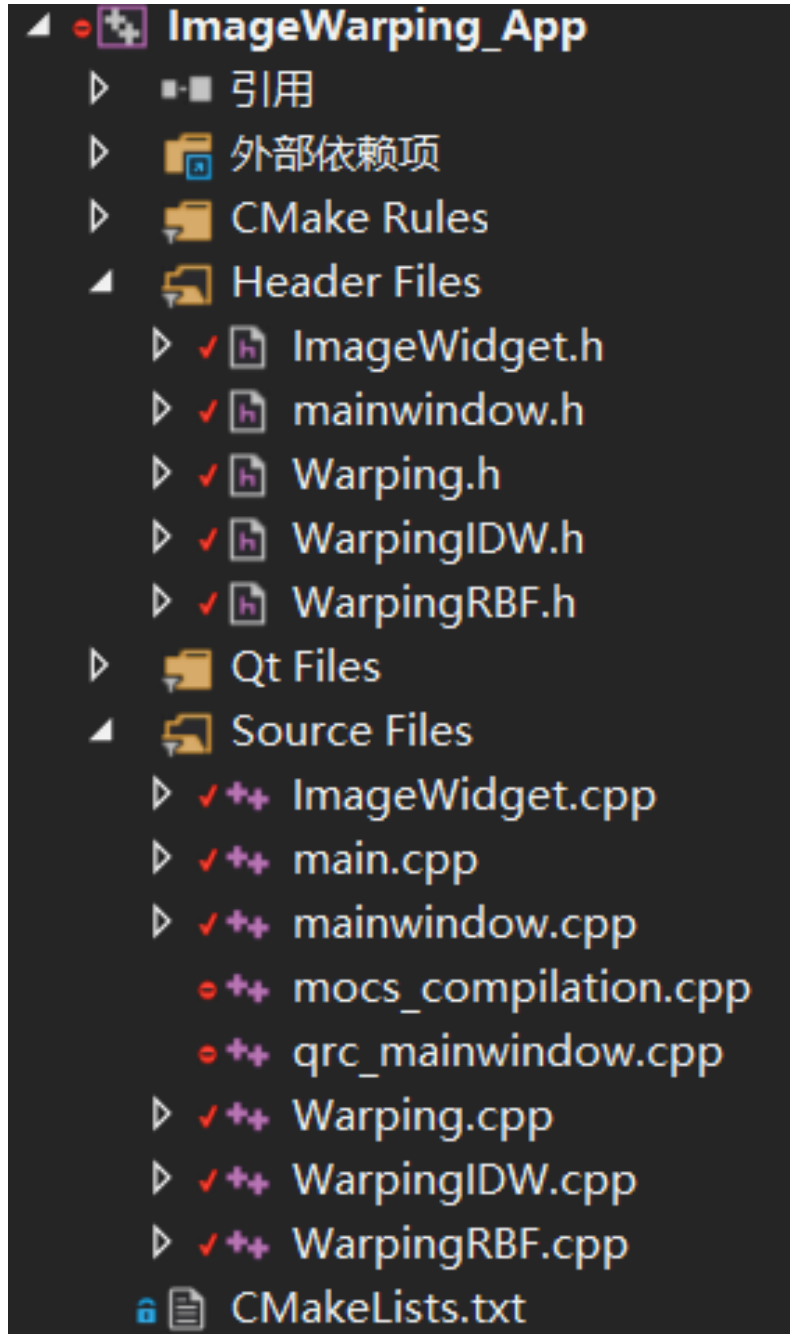


Figure 4.1: 文件结构

## 4.2 面向对象设计

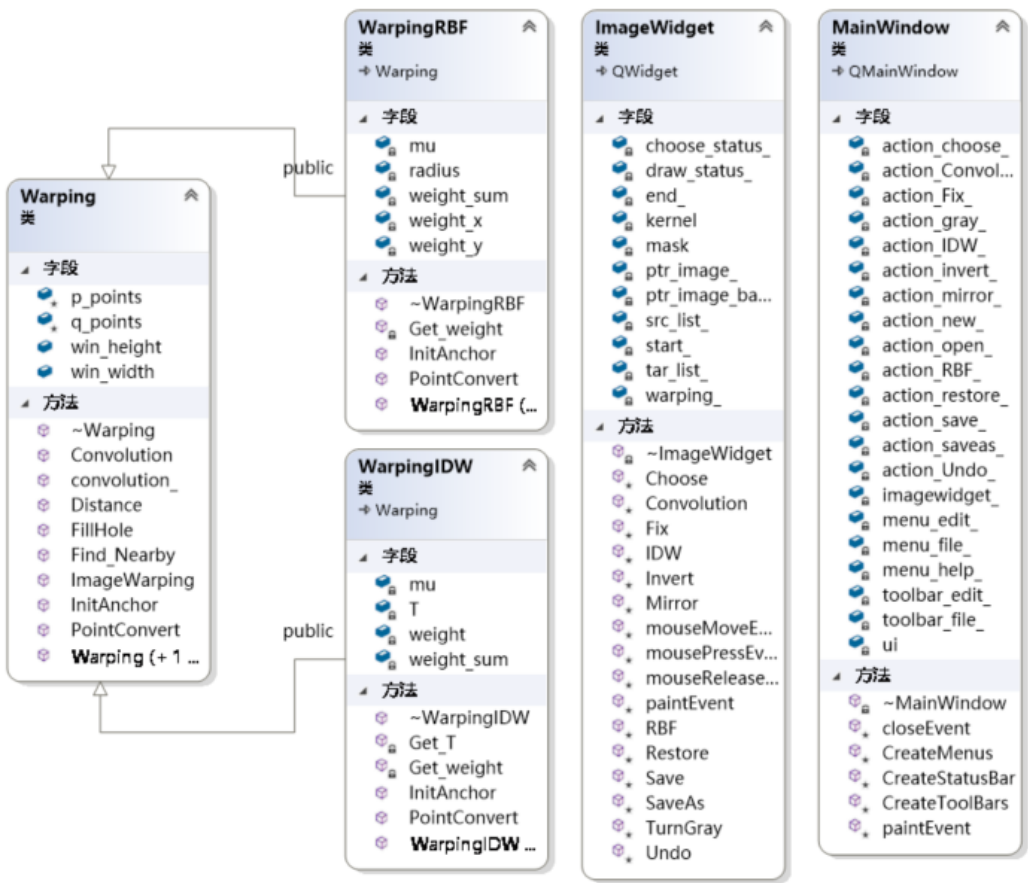


Figure 4.2: 类图

在样例的基础上新增 **Warping** 父类，声明了初始化控制点、计算距离、像素点坐标变换、白缝填补的方法，子类 **WarpingRBF** 和 **WarpingIDW** 继承 **Warping**，分别定义了各自的 Image Warping 算法。

## 5 设计难点与解决

### 5.1 图像位置的影响

样例中的图像是默认处于窗口正中心，这会导致读取的控制点坐标系和图像内像素点坐标系不一致。需要在控制点初始化过程中，传入窗口大小信息对控制点对序列做平移变换预处理

### 5.2 白缝的消除

由于算法映射不完全，处理后图像会出现许些白缝，这里采用 ANN 库提供的邻域搜索，利用空像素周边的非空像素取均值进行插值。在配置 ANN 的过程中遇到不少困难，该库官方只提供 Win32 的链接库，而本例采用 x64，无法正常链接。于是我利用 Homework0 中编译动态链接库的方法重新编译 ANN 源码，得到 x64 版本的链接库，经测试可正常使用。（注意：需要将 ANN.dll 置于/bin 文件夹中程序才能正常运行）

### 5.3 内存管理

为了避免内存泄漏，用 Qt 附带的模板类 QVector 代替 STL Vector，不需要显式释放内存，同时图像指针 ptr\_image\_ 和 ptr\_image\_backup\_ 需要在析构函数中进行释放，否则会发生内存泄漏。

## 6 实验效果

### 6.1 标准图像测试

如下图所示，固定四角，蓝色为控制起始点，绿色为控制终止点

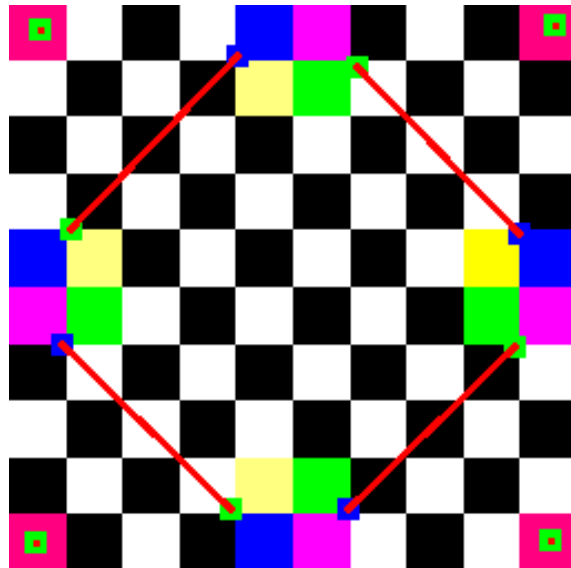


Figure 6.1: 拉伸情况

### 6.2 IDW 算法

#### 6.2.1 $\mu = -1$ 情况

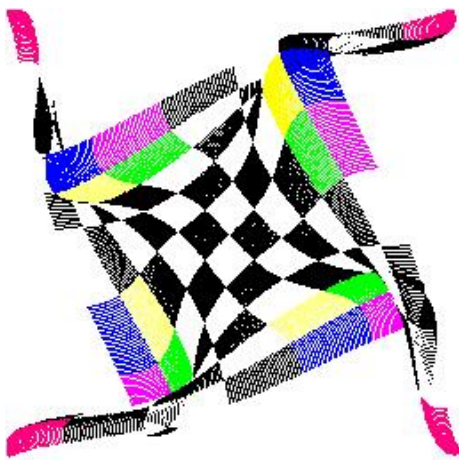


Figure 6.2: 修复前

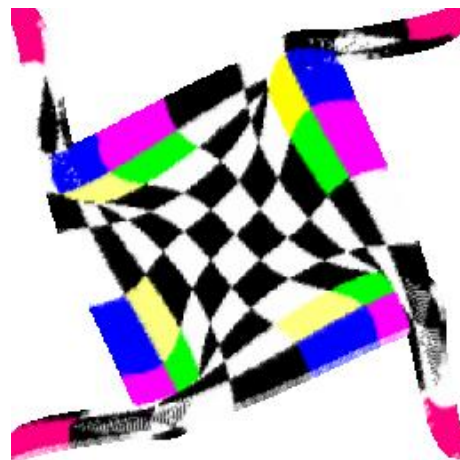


Figure 6.3: 修复后

### 6.2.2 $\mu = 1$ 情况

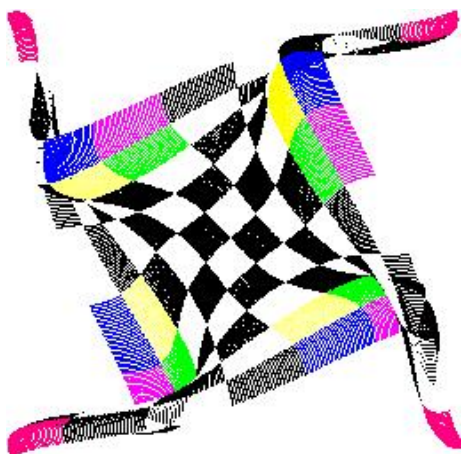


Figure 6.4: 修复前

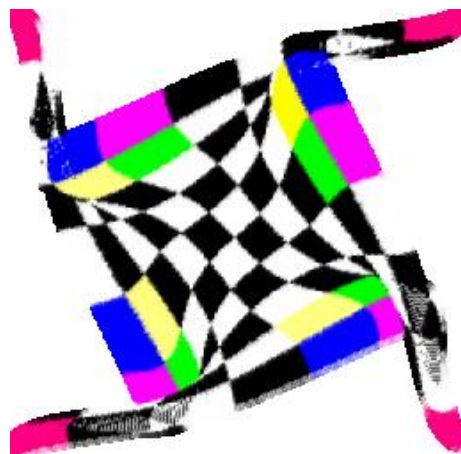


Figure 6.5: 修复后

## 6.3 RBF 算法

### 6.3.1 $\mu = 0.5$ 情况

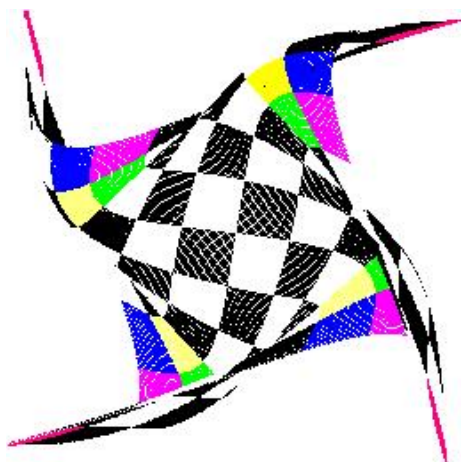


Figure 6.6: 修复前



Figure 6.7: 修复后



### 6.3.2 $\mu = -0.5$ 情况

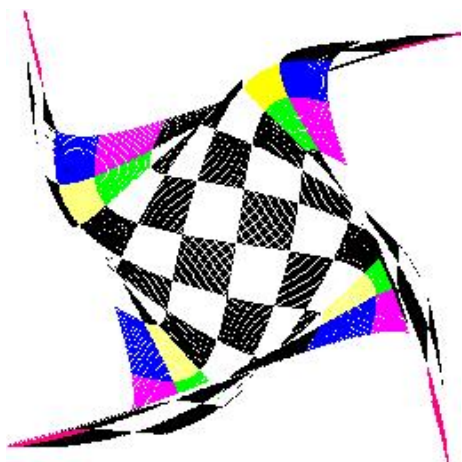


Figure 6.8: 修复前

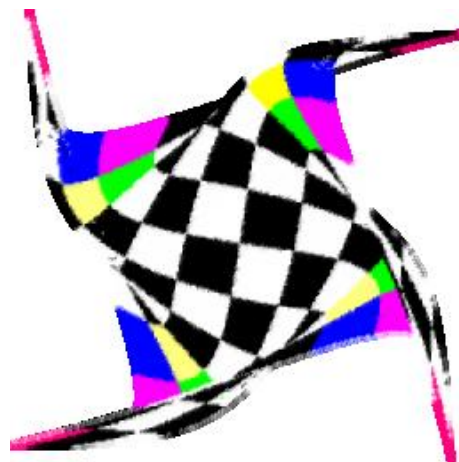


Figure 6.9: 修复后

## 6.4 其他测试

### 6.4.1 柴犬表情包

原图片:



Figure 6.10: 原始图片

处理后：



Figure 6.11: Happy



Figure 6.12: Emmm...

#### 6.4.2 平头哥也忍不住笑了

原图片：



Figure 6.13: 高冷

处理后：



Figure 6.14: 微笑



Figure 6.15: 扭曲的微笑

## 7 总结

本例中使用 IDW 和 RBF 两种方法进行图像的拉伸变换，理论上 IDW 和 RBF 的运算复杂度均为  $O(n^2 + nN)$ ，而由于实际运算中，IDW 计算一个像素点的浮点乘法加法次数比 RBF 方法更多，在实验中也可以发现 RBF 处理速度要比 IDW 快 3 到 4 倍。

## REFERENCES

- [1] Detlef Ruprecht and Heinrich Muller. Image warping with scattered data interpolation. *IEEE Computer Graphics and Applications*, 15(2):37–43, 1995.
- [2] Nur Arad and Daniel Reisfeld. Image warping using few anchor points and radial functions. In *Computer graphics forum*, volume 14, pages 35–46. Wiley Online Library, 1995.